

## 9 Turboähnliche Codes

### 9.1 LDPC[Low-Density Parity-Check]-(Block)Codes

- 1962 von GALLAGER erstmals vorgestellt, trotz ihrer sehr guten Eigenschaften lange vergessen (Kodeverkettung schien überlegen, begrenzte Rechenleistung; FORNEY: „The way clearly far too complicated for the technology of the time.“ IEEE Spectrum, 2004.)  
1993 *Turbo Code*, zeigt Stärke iterativer Dekodierung auf  
1995 von MacKay/Neal leicht verbessert wiedererfunden und weiterentwickelt; (**L** zur Einordnung und Weiterentwicklung<sup>10</sup>)

- Grundlage für iterative Dekodierungsalgorithmen:  
Sparsame Kontrollmatrix  $H_{k \times n}$  mit  $w(H) \ll k \cdot n$   
(Für einen „guten“ Kode sollte aber Generatormatrix nicht sparsam sein:  $w(a^*) = 1 \rightarrow w(a) \gg 1$ )
- Iterative Dekodierung kann Maximum-Likelihood(ML) Leistung erreichen (näherungsweise Umsetzung von ML)
- Unterscheidung von LDPC-Codes
  - regulär: Spaltengewicht  $\gamma$ , Zeilengewicht  $\rho$  konstant,  $\gamma < \rho$ ;

$$R = 1 - \frac{\gamma}{\rho} = \frac{l}{n}; \quad 4\text{-zyklenfrei: } d_{\min} \geq \gamma + 1$$

- irregulär: Spalten-  $\gamma_j$ , Zeilengewicht  $\rho_i$  unterschiedlich;

$$R = 1 - \frac{\frac{1}{n} \sum_{j=1}^n \gamma_j}{\frac{1}{k} \sum_{i=1}^k \rho_i} = \frac{l}{n}$$

<sup>10</sup>E. Arikan, N. Hassan, M. Lentmaier et. al. *Challenges and some new directions in channel coding*. Journal of Comm. and Networks, August 2015

## Beispiel

LDPC-Kode mit  $\gamma = 3$ ,  $\rho = 6$ ,  $R = 1 - \frac{3}{6} = \frac{1}{2} = \frac{l}{n}$

$$H_{k \times n = 6 \times 12} = \begin{pmatrix} 1 & 1 & 0 & 1 & 0 & 0 & 0 & 0 & 1 & 1 & 0 & 1 \\ 1 & 1 & 1 & 1 & 1 & 0 & 0 & 1 & 0 & 0 & 0 & 0 \\ 1 & 0 & 1 & 0 & 1 & 1 & 0 & 0 & 0 & 1 & 1 & 0 \\ 0 & 0 & 0 & 1 & 1 & 1 & 1 & 0 & 1 & 0 & 1 & 0 \\ 0 & 1 & 1 & 0 & 0 & 0 & 1 & 1 & 0 & 0 & 1 & 1 \\ 0 & 0 & 0 & 0 & 0 & 1 & 1 & 1 & 1 & 1 & 0 & 1 \end{pmatrix} = [H_l \ H_k], \quad d_{min} = 4$$

In Vorbereitung der Anwendung iterativer Dekodierung:

- Zu  $H$  definierte Indexmengen:

$$K_i = \{j : 1 \leq j \leq n, h_{ij} = 1\} \quad (i = 1, 2, \dots, k), \quad |K_i| = \rho_{[i]}$$

Menge aller Variablen (Bits), die Einfluss auf die  $i$ -te Prüfgleichung haben

$$\text{Beispiel: } K_1 = \{1, 2, 4, 9, 10, 12\}, \quad K_2 = \{1, 2, 3, 4, 5, 8\}, \dots$$

$$N_j = \{i : 1 \leq i \leq k, h_{ij} = 1\} \quad (j = 1, 2, \dots, n), \quad |N_j| = \gamma_{[j]}$$

Menge der Prüfgleichungen, in welche die  $j$ -te Variable Einfluss hat

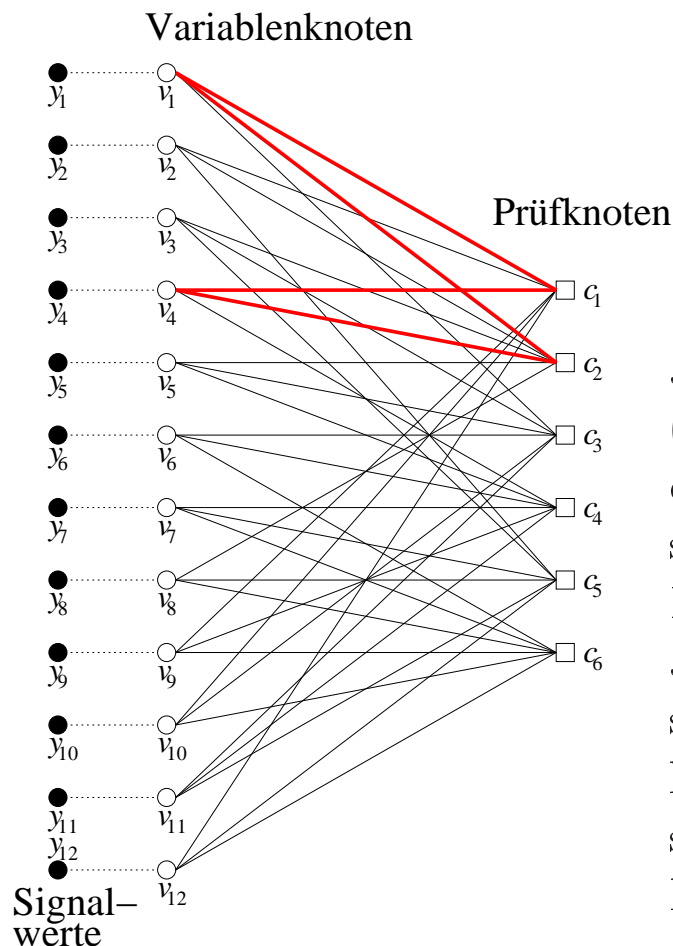
$$\text{Beispiel: } N_1 = \{1, 2, 3\}, \quad N_2 = \{1, 2, 5\}, \quad N_3 = \{2, 3, 5\}, \dots$$

Anstelle  $s = H \cdot b_h^T$  weniger Operationen mit

$$s_i = \sum_{j \in K_i} y_{h,j} \bmod 2 \quad (i = 1, 2, \dots, k), \quad y_{h,j} \in \{0, 1\}$$

(Einsparung von Multiplikationen, auch Additionen).

- Zu  $H$  korrespondierender TANNER-Graph [factor, bipartite graph]



Jede(s) Variable (Bit)  $v_j$  ( $u_j$ ) ist in drei Prüfgleichungen enthalten, korrespondierend zu den drei Einsen in jeder Spalte. Jede Prüfgleichung  $c_i$  basiert auf sechs Variablen, korrespondierend zu den sechs Einsen in jeder Zeile.

Optimal: Graph ohne **Zyklen** [girth]  $\rightarrow$  Leistung einer ML Dekodierung

Ist das Gewicht der stellenweisen Multiplikation von zwei beliebigen Spalten (Zeilen) höchstens Eins, dann ist  $H$  4-zyklenfrei.

- $H$ -Konstruktionen
  - zufallsähnlich (Vorgabe von Zyklenlänge, Gewichtsverteilung von Variablen-, Prüfknoten,..., z. B. mit PEG Verfahren)
  - strukturiert (algebraische Zshg.e, wie quasi-zyklische Codes)

**Kodierung** (abhängig von  $H$ -Konstruktion)

- $a = a^* \cdot G = a_l \cdot G$  ( $H \rightarrow G$ ?)
- $H_{k \times n} = [H_l \ H_k]$  und  $a = [a_l \ a_k]$ ;  
Wegen  $H \cdot a^T = \mathbf{0}$  ist  $H_k \cdot a_k^T = H_l \cdot a_l^T$  und damit  
 $\rightarrow a_k^T = \mathbf{H}_k^{-1} \cdot H_l \cdot a_l^T$   
(Voraussetzung:  $H_k$  quadratisch und invertierbar)
- $H$  zyklisch:  
$$a_j = \sum_{j' \in K_i \setminus j} a_{j'} \text{ mod } 2 \quad (j = l + i, i = 1, 2, \dots, k)$$
- $H = [H_l \ H_k] = [H_1 \ H_2]$   
 $H_1$  zufallsähnlich;  $H_2$  bidiagonal (staircase) (DVB-S2) oder  
 $H_2$  untere Dreiecksmatrix (triangle):  
Kodierung wie  $H$  zyklisch

**Dekodierung**

Dekodierungsmethode:

Iterative (Syndrom-)Dekodierung  $s = H \cdot b_h^T = \mathbf{0}$ ?

Dekodierungsalgorithmen:

- hard-decision Dekodierung:  
Basis:  $y_{h,j} \in \{0, 1\}$
- hard/soft reliability-based (hybride) Dekodierung:  
Basis:  $y_{h,j} \in \{0, 1\}$  und bei soft-Zuverlässigkeit Einbeziehung  
der Signalwerte  $y_j \in \mathbb{R}$  in den Berechnungsablauf
- soft-decision Dekodierung:  
Basis:  $y_j \in \mathbb{R}$

## hard-decision und soft/hard reliability-based Dekodierung

Beispiel:  $a_l = (110100)$   $a_k = (010011)$   $\longrightarrow$

$$b_M = (-0.9, -0.9, 1.0, 0.1, 0.3, 1.0, 0.8, -0.7, 1.0, 0.9, -1.0, 0.4), b_h^{(0)} \in A?$$

- **bit-flipping** Algorithmus (GALLAGER 1962)

$$s_i^{(0)} = \sum_{j \in K_i} y_{h,j}^{(0)} \bmod 2 \quad (i = 1, 2, \dots, k)$$

$$s^{(\tau)} \neq \mathbf{0} : e_j^{(\tau)} = \sum_{i \in N_j} s_i^{(\tau)} \quad (j = 1, 2, \dots, n)$$

$$\text{flip}(y_{h,j}^{(\tau+1)}), \text{ wenn } e_j^{(\tau)} \geq T \text{ oder } = T_{max} = \max_{j=1}^n e_j^{(\tau)}$$

Abbruch:  $s^{(\tau+1)} = \mathbf{0}$  oder  $\tau > \tau_{max}$ , sonst  $\tau = \tau + 1$

- hybride bit-flipping Algorithmen (2001 ... 2008 ...)

- weighed bit-flipping (WBF): bezieht Signalwerte  $y_j$  als soft-Zuverlässigkeit einer Prüfgleichung ein:

$$w_i = \min_{j \in K_i} |y_j| \quad (i = 1, 2, \dots, k) \quad (\text{QWBF}^{11}: w_i > \Delta : w_i = 2, \text{sonst } w_i = 1)$$

$$s^{(\tau)} \neq \mathbf{0} : e_j^{(\tau)} = \sum_{i \in N_j} (2 s_i^{(\tau)} - 1) \cdot w_i \quad (j = 1, 2, \dots, n)$$

$$\text{flip}(y_{h,j}^{(\tau+1)}), \text{ wenn } e_j^{(\tau)} = T_{max}$$

- modified WBF (MWBF): bezieht Signalwerte als soft-Zuverlässigkeit einer Prüfgleichung und Bit-basiert ein ( $\alpha$  – Wichtigkeitsfaktor, exper. ermittelt, wächst mit  $\gamma$ :  $\alpha \in [0.3, 2.0]$ ):

$$w_i = \min_{j \in K_i} |y_j| \quad (i = 1, 2, \dots, k)$$

---

<sup>11</sup>J. Zhang, et al. *Low-Latency Decoding of EG LDPC Codes*. Journal of Lightwave Technology, Vol. 25, No. 9, Sept. 2007

$$s^{(\tau)} \neq \mathbf{0} : e_j^{(\tau)} = \sum_{i \in N_j} (2s_i^{(\tau)} - 1) \cdot w_i - \alpha |y_j| \quad (j = 1, 2, \dots, n)$$

$$\text{flip}(y_{h,j}^{(\tau+1)}), \text{ wenn } e_j^{(\tau)} = T_{max}$$

- improved MWBF (IMWBF): wie modified, bezieht aber extrinsische Information  $L_e(\hat{u}_{ij})$  als soft-Zuverlässigkeit ein:

Die **extrinsische Information**  $L_e(\hat{u}_{ij})$  wird immer *unabhängig* vom Wert der Stelle  $j$  selbst berechnet und ist *abhängig von der Struktur des Kodes*, gegeben mit der Kontrollmatrix.

$$L_e(\hat{u}_{ij}) = w_{ij} = \min_{j' \in K_i \setminus j} |y_{j'}| \quad (\forall j \in K_i, i = 1, 2, \dots, k)$$

$$s^{(\tau)} \neq \mathbf{0} : e_j^{(\tau)} = \sum_{i \in N_j} (2s_i^{(\tau)} - 1)w_{ij} - \alpha |y_j| \quad (j = 1, 2, \dots, n)$$

$$\text{flip}(y_{h,j}^{(\tau+1)}), \text{ wenn } e_j^{(\tau)} = T_{max}$$

- iterative Anpassung der Prüfgleichungs-Zuverlässigkeit<sup>12</sup> über alle  $j_{\text{flip}}^{(\tau)}$  nicht erfüllte Prüfgleichungen  $s_i^{(\tau)} = 1$ :

$$w_i^{(\tau+1)} = w_i^{(\tau)} + \delta \quad \text{bzw.} \quad w_{ij}^{(\tau+1)} = w_{ij}^{(\tau)} + \delta \quad (\delta \approx 0.03)$$

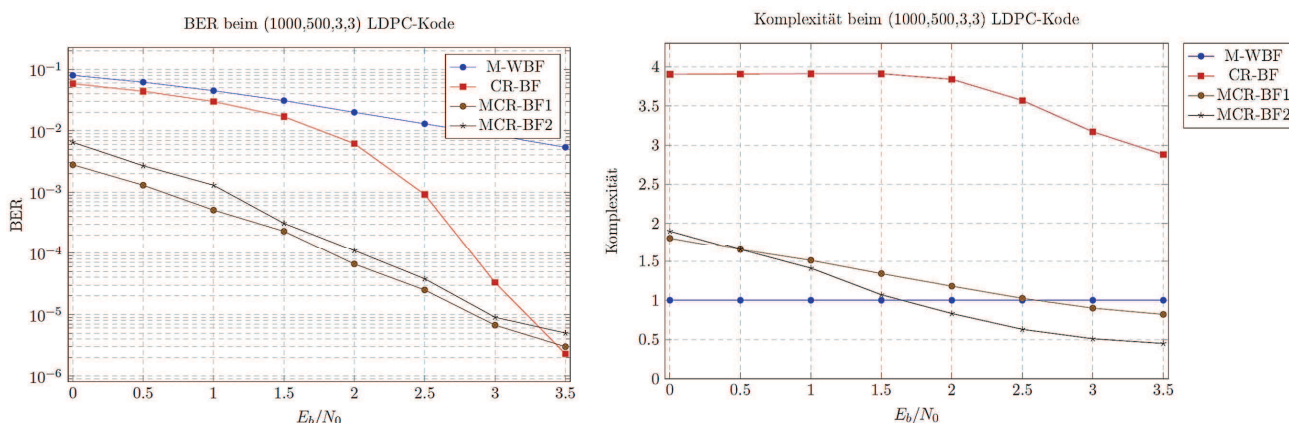
⋮

---

<sup>12</sup>D. Qian, et al. *A Modification to Weighted Bit-Flipping Decoding Algorithm for LDPC Codes based on Reliability Adjustment*. 2008 IEEE

- C.Y. Chang, et. al. *Check Reliability Based Bit-Flipping Decoding Algorithms for LDPC Codes*. 2010, u.a. untersucht in:

A. Kropp *Einordnung und Bewertung jüngst modifizierter BF/MLG Dekodierungsalgorithmen*. Bachelorarbeit 2014



→ modifizierte Versionen (MCR-BF1, MCR-BF2) kippen in Abhängigkeit von  $w(s)$  mehrere Bits!

MCR-BF1:  $w(s) > 3\gamma \rightarrow$  neben zu kippendem Bit werden 3 weitere Bits, die mit den nächst höchsten Kosten in  $\mathbf{e}^{(\tau)}$ , gekippt

MCR-BF2: kippen zusätzlicher  $\lfloor \frac{w(s)}{2\gamma} \rfloor$  Bits

Kontrollmatrix **orthogonal**<sup>13</sup>:  $\gamma = \rho$  in  $\mathbf{H}_{n \times n}$ ,  $d_{min} = \gamma + 1$

→ **majority-logic** (MLG) Algorithmus

Beispiel: (15,7,5)BCH, orthogonal

$$g(x) = x^8 + x^7 + x^6 + x^4 + 1 \rightarrow h(x) = \frac{f(x)}{g(x)} = x^7 + x^6 + x^4 + 1$$

$$a = (100010111000000) \rightarrow b_h = (111010111000000) \in A?$$

- one-step majority-logic Algorithmus (REED 1954, MASSEY 1963)

Notw.: orthogonale Prüfsumme bezogen auf Variable (Bit)  $v_j$

$$s_i = \sum_{j \in K_i} y_{h,j} \bmod 2 \quad (i = 1, 2, \dots, n)$$

$$s \neq \mathbf{0} : e_j = \sum_{i \in N_j} s_i \rightarrow \text{flip}(y_{h,j}), \text{ wenn } e_j > \lfloor \frac{\gamma}{2} \rfloor$$

$$(j = 1, 2, \dots, n)$$

Auch möglich:

$$s \neq \mathbf{0} : e_j = \sum_{i \in N_j} (2s_i - 1) \text{ mit } e_j \in [-\gamma, +\gamma]$$

$$\rightarrow \text{flip}(y_{h,j}), \text{ wenn } e_j > 0 \quad (j = 1, 2, \dots, n)$$

→ Überprüfung von  $s = \mathbf{0}$ ? zum Erkennen von Dekodierungsversagen!

---

<sup>13</sup>Summiere  $v_j$  beeinflussende Prüfgleichungen: Summe über  $v_j$  ist  $\gamma$ , sonst höchstens 1.

- hard reliability-based **iterativer** MLG Algorithmus (2009<sup>14</sup>)

$$r_j^{(0)} = \gamma, \text{ wenn } y_{h,j}^{(0)} = 0, \text{ sonst } r_j^{(0)} = -\gamma$$

$$s_i^{(0)} = \sum_{j \in K_i} y_{h,j}^{(0)} \bmod 2 \quad (i = 1, 2, \dots, n)$$

$$s^{(\tau)} \neq \mathbf{0} : \left[ L_e(\hat{u}_{ij}) = \sum_{j' \in K_i \setminus j} y_{h,j'}^{(\tau)} \bmod 2 = s_i^{(\tau)} \oplus y_{h,j}^{(\tau)} \quad (\forall j \in K_i, i = 1..n) \right]$$

$$e_j^{(\tau)} = \sum_{i \in N_j} (2 L_e(\hat{u}_{ij}) - 1) = \sum_{i \in N_j} (2(s_i^{(\tau)} \oplus y_{h,j}^{(\tau)}) - 1)$$

$$r_j^{(\tau+1)} = \min\{\max\{r_j^{(\tau)} - e_j^{(\tau)}, -\gamma\}, \gamma\}$$

$$y_{h,j}^{(\tau+1)} = 0, \text{ wenn } r_j^{(\tau+1)} \geq 0, \text{ sonst } y_{h,j}^{(\tau+1)} = 1 \quad (j = 1..n)$$

Abbruch:  $s^{(\tau+1)} = \mathbf{0}$  oder  $\tau > \tau_{max}$ , sonst  $\tau = \tau + 1$

- soft reliability-based iterativer MLG Algorithmus

$x$  Bit-Quantisierung:  $|2^{x-1} - 1| \leq \gamma!$

$$r_j^{(0)} = y_{q,j} \in [-(2^{x-1}-1), 2^{x-1}-1], y_{q,j} = \text{round}(y_j \cdot (2^{x-1}-1)) \quad (j = 1..n)$$

min/max-Anpassung an Quantisierungsbereich, sonst wie hard

## Vergleich WBF- und iterative MLG Algorithmen

- MLG erfordern nur logische Operationen und Integer-Additionen
- MLG erlauben parallele Dekodierung
- MLG nur für orthogonale  $H$
- hard MLG vergleichbar mit BF, schlechter als WBF
- soft MLG konvergiert wesentlich schneller als WBF
- soft MLG nur  $< 1$  dB zum optimalen sum-product Algorithmus

<sup>14</sup>Q. Huang, et al. *Two Reliability-Based Iterative Majority-Logic Decoding Algorithms for LDPC Codes*. 2009 IEEE

## EXKURS: Log-Likelihood-Algebra [11,20,..]

Rechnen mit logarithmischen Wahrscheinlichkeiten

- **Zuverlässigkeit einer Bitentscheidung**

$$L(u_j) = \ln \frac{P(u_j = 0)}{P(u_j = 1)} \rightarrow L(x_j) = \ln \frac{P(x_j = +1)}{P(x_j = -1)}$$

$L(x)$  ist „soft“-Wert einer binären Zufallsvariablen.

$\text{sign } L(x)$  bestimmt die harte Entscheidung,  $|L(x)|$  gibt die Zuverlässigkeit dieser Entscheidung an.

- **Zuverlässigkeit eines Empfangswertes**

$$L(y_j|x_j) = \ln \frac{p(y_j|x_j = +1)}{p(y_j|x_j = -1)} \sim y_j = \text{sign } y_j \cdot |y_j|$$

Je größer  $|y_j|$  umso zuverlässiger die harte Entscheidung  $\text{sign } y_j$ . Gelingt es  $|y_j|$  in den Dekodierungsalgorithmus einzubringen, spricht man von soft-decision Dekodierung.<sup>15</sup>

- **Regel von BAYES**

$$\begin{aligned} L(\hat{x}_j) &= L(x_j|y_j) = \ln \frac{P(x_j = +1|y_j)}{P(x_j = -1|y_j)} \\ &= \ln \frac{p(y_j|x_j = +1)}{p(y_j|x_j = -1)} + \ln \frac{P(x_j = +1)}{P(x_j = -1)} = L_c y_j + L(x_j) \end{aligned}$$

$L_c$  Kanalzuverlässigkeit; SBK:  $L_c = \ln \frac{1-p_s}{p_s}$ , AWGN:  $L_c = \frac{2}{\sigma^2}$

$$L(y|x) = L_c y = L(x|y) - L(x)$$

Zuverlässigkeit des Empfangswertes ist die Differenz zwischen a posteriori und a priori soft-Wert von  $x$  (nach – vor der  $\ddot{U}$ ).

---

<sup>15</sup>  $y_{h,j} = \frac{1 - \text{sign } y_j}{2}$

- **Zuverlässigkeit der Summe**<sup>16</sup> zweier statistisch unabhängiger Werte  $x_1$  und  $x_2$ : (paarweise Auswertung)

$$\begin{aligned}
 L(x_1 \oplus x_2) &= \ln \frac{1 + e^{L(x_1)} e^{L(x_2)}}{e^{L(x_1)} + e^{L(x_2)}} \\
 &= \text{sign } L(x_1) \cdot \text{sign } L(x_2) \cdot \min\{|L(x_1)|, |L(x_2)|\} \\
 &\quad + \ln(1 + e^{-|L(x_1)+L(x_2)|}) - \ln(1 + e^{-|L(x_1)-L(x_2)|})
 \end{aligned}$$

Approximationen für  $\ln(1 + e^{-|z|})$  :

→ 0 ;  $L(x_1 \oplus x_2) \approx \text{sign } L(x_1) \cdot \text{sign } L(x_2) \cdot \min\{|L(x_1)|, |L(x_2)|\}$

→ Lookup-Tabelle:                      → Lineare Abbildung:

|                            |      |
|----------------------------|------|
| $0.000 \leq  z  < 0.196$   | 0.65 |
| $0.196 \leq  z  < 0.433$   | 0.55 |
| $0.433 \leq  z  < 0.710$   | 0.45 |
| $0.710 \leq  z  < 1.050$   | 0.35 |
| $1.050 \leq  z  < 1.508$   | 0.25 |
| $1.508 \leq  z  < 2.252$   | 0.15 |
| $2.252 \leq  z  < 4.500$   | 0.05 |
| $4.500 \leq  z  < +\infty$ | 0.00 |

|                          |                              |
|--------------------------|------------------------------|
| $0.0 \leq  z  < 0.5$     | $- z  \cdot 2^{-1} + 0.7000$ |
| $0.5 \leq  z  < 1.6$     | $- z  \cdot 2^{-2} + 0.5750$ |
| $1.6 \leq  z  < 2.2$     | $- z  \cdot 2^{-3} + 0.3750$ |
| $2.2 \leq  z  < 3.2$     | $- z  \cdot 2^{-4} + 0.2375$ |
| $3.2 \leq  z  < 4.4$     | $- z  \cdot 2^{-5} + 0.1375$ |
| $4.4 \leq  z  < +\infty$ | 0                            |

Bezogen auf die Signalwerte  $y_j$ :

$$\longrightarrow L(y_1 \oplus y_2 \oplus \dots) \approx \prod_j \text{sign } y_j \cdot \min_j |y_j|$$

---

<sup>16</sup> $L(x_1 \oplus x_2) = \ln \frac{P(x_1 \oplus x_2 = 0)}{P(x_1 \oplus x_2 = 1)}$   
 $= \ln \frac{P(x_1 = 0)P(x_2 = 0) + P(x_1 = 1)P(x_2 = 1)}{P(x_1 = 0)P(x_2 = 1) + P(x_1 = 1)P(x_2 = 0)}$   
 $= \ln \frac{e^{L(x_1)}P(x_1 = 1)e^{L(x_2)}P(x_2 = 1) + P(x_1 = 1)P(x_2 = 1)}{e^{L(x_1)}P(x_1 = 1)P(x_2 = 1) + P(x_1 = 1)e^{L(x_2)}P(x_2 = 1)}$   
 $= \ln \frac{e^{L(x_1)}e^{L(x_2)} + 1}{e^{L(x_1)} + e^{L(x_2)}}$

NR:  $L(x) = \ln \frac{P(x=0)}{P(x=1)} \rightarrow P(x = 0) = e^{L(x)}P(x = 1)$

## soft-decision Dekodierung

- **optimaler** sum-product Algorithmus,  
auch message-passing, belief-propagation (BP)  
Basis: Wahrscheinlichkeiten oder Zuverlässigkeiten;

Zuverlässigkeit der Summe zweier Signalwerte:

$$\begin{aligned}
 L(y_1 \oplus y_2) &= \ln \frac{1 + e^{y_1} e^{y_2}}{e^{y_1} + e^{y_2}} \\
 &= \text{sign } y_1 \cdot \text{sign } y_2 \cdot \min\{|y_1|, |y_2|\} \\
 &\quad \underbrace{+ \ln(1 + e^{-|y_1+y_2|}) - \ln(1 + e^{-|y_1-y_2|})}_{\text{Lookup-Tabelle, stückweise lineare Abbildung, ...}}
 \end{aligned}$$

- **sub-optimaler** min-sum Algorithmus

$$\begin{aligned}
 L(y_1 \oplus y_2) &\approx \text{sign } y_1 \cdot \text{sign } y_2 \cdot \min\{|y_1|, |y_2|\} \\
 \longrightarrow L(y_1 \oplus y_2 \oplus \dots) &\approx \prod_j \text{sign } y_j \cdot \min_j |y_j|
 \end{aligned}$$

- **quasi-optimale** min-sum Algorithmen zur Wiederherstellung des Leistungsverlustes von min-sum zu sum-product:

normalized:  $\alpha = 1.25 \dots 2.00$  (abh. von  $H$ -Konstruktion und  $\gamma$ )

$$L(y_1 \oplus y_2) \approx \frac{1}{\alpha} \cdot \text{sign } y_1 \cdot \text{sign } y_2 \cdot \min\{|y_1|, |y_2|\}$$

offset:  $\beta = 0.15 \dots 0.20$

$$L(y_1 \oplus y_2) \approx \text{sign } y_1 \cdot \text{sign } y_2 \cdot \max\{\min\{|y_1|, |y_2|\} - \beta, 0\}$$

self-corrected (2008):

bei VZ Wechsel zwischen zwei Iterationen Nullsetzung (Auslöschung)  $\rightarrow$  Experimentierbaustein siehe web Kanalkodierung

... weitere Modifizierungen

Zur Einordnung der Algorithmen:

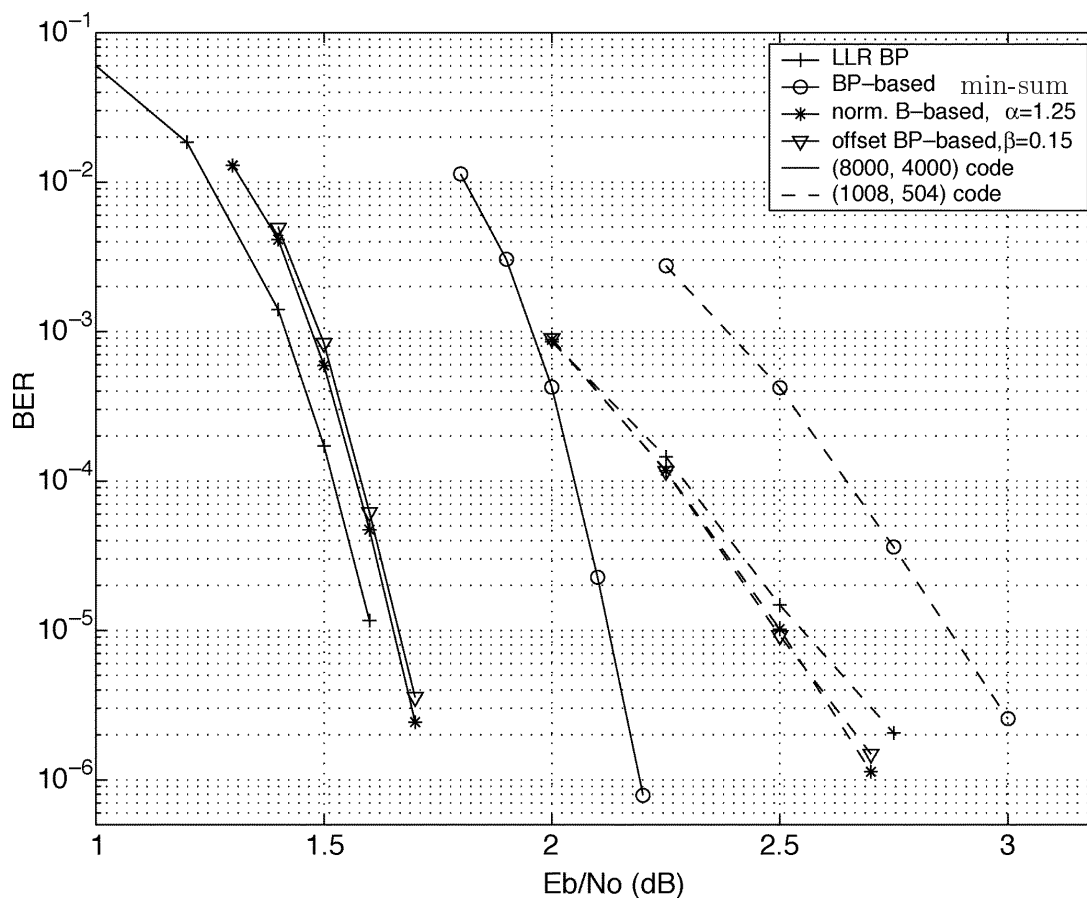


Fig. 2. Bit-error performances of an (8000,4000) and a (1008,504) LDPC code under two improved BP-based algorithms ( $it_{\max} = 100$ ).

J. Chen, A. Dholakia, E. Eleftheriou, M. P.C. Fossorier. *Reduced-Complexity Decoding of LDPC Codes*. IEEE Trans. on Comm., Vol. 53, No. 8, Aug. 2005, S. 1293

→ bei kurzen/mittleren Kodewortlängen ist sum-product wegen vorhandener Korrelationen zwischen den Nachrichten nicht optimal

→ bei großen Kodewortlängen liegt Abstand zwischen quasi-optimalen und optimalem Algorithmus bei 0,5 ... 0,6 dB

## soft-decision Umsetzungen

- optimaler **sum-product** Algorithmus

$$a \in \{0, 1\}^n \rightarrow a_M \in \{+1, -1\}^n \rightarrow b_M \in \mathbb{R}^n \rightarrow b \in \mathbb{R}[0, 1]^n$$

$$u_j \in \{0, 1\} \rightarrow x_j \in \{+1, -1\} \rightarrow y_j \in \mathbb{R} \rightarrow p(y_j) \in \mathbb{R}[0, 1]$$

$$y_j = x_j + z_j \text{ mit } z_j = \mathcal{Z}\mathcal{Z}_{NV[0, \sigma^2]}, \quad \sigma = \frac{1}{\sqrt{2 R 10^{\frac{E_b}{N_0} [dB]/10}}}$$

(AWGN-Modell mit Kanalzuverlässigkeit  $L_c = \frac{2}{\sigma^2}$ ;

**Algorithmus erfordert Kenntnis von  $L_c$  !)**

und damit

$$p(y_j) = \frac{1}{1 + e^{-\frac{2}{\sigma^2} y_j}} \quad (j = 1, 2, \dots, n)$$

und

$$y_{h,j} = \begin{cases} 0 & p(y_j) \geq 0.5 \\ 1 & \text{sonst} \end{cases}$$

→ **Algorithmus** auf Basis von Wahrscheinlichkeiten  
[probability domain]

Aufbau von 6 Matrizen:

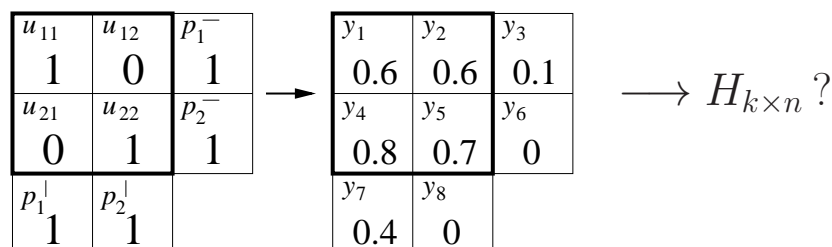
$$Q_{k \times n}^0, Q_{k \times n}^1, \Delta Q_{k \times n}, \Delta R_{k \times n}, R_{k \times n}^0, R_{k \times n}^1$$

→ Algorithmus in Anlehnung an MacKay/Neal [27], 1996

$$\forall i, j \wedge h_{ij} = 1 :$$

|            |  |  |
|------------|--|--|
|            | 1. Iteration   | >1. Iteration  |
| vertikal   | $q_{ij}^0 = p(y_j)$<br>$q_{ij}^1 = 1 - q_{ij}^0$   | $q_{ij}^0 = p(y_j) \prod_{i' \in N_j \setminus i} r_{i'j}^0 = q_j^0 / r_{ij}^0$<br>$q_{ij}^1 = (1 - p(y_j)) \prod_{i' \in N_j \setminus i} r_{i'j}^1 = q_j^1 / r_{ij}^1$<br>Skalieren: $q_{ij}^0 + q_{ij}^1 = 1$ |
| horizontal | $\delta q_{ij} = q_{ij}^0 - q_{ij}^1$<br>$\delta r_{ij} = \prod_{j' \in K_i \setminus j} \delta q_{ij'}$<br>$r_{ij}^0 = \frac{1}{2}(1 + \delta r_{ij})$ und $r_{ij}^1 = \frac{1}{2}(1 - \delta r_{ij}) = 1 - r_{ij}^0$   |  |
| Auswertung | $q_j^0 = p(y_j) \prod_{i \in N_j} r_{ij}^0$ und $q_j^1 = (1 - p(y_j)) \prod_{i \in N_j} r_{ij}^1$<br>Skalieren, so dass $q_j^0 + q_j^1 = 1$ mit<br>$q_j^0 = q_j^0 \cdot \frac{1}{q_j^0 + q_j^1}$ und $q_j^1 = 1 - q_j^0$<br>$s = H \cdot b_{korr,h}^T = H \cdot (q_{h,1}^0, q_{h,2}^0, \dots, q_{h,n}^0)^T = \mathbf{0} ?$<br>ja: stop bzw. $\tau_{max}$ erreicht<br>nein: weiter mit vertikalen Schritt |  |

**Beispiel**  $p(y_j | u = 0) \in \mathbb{R}[0, 1]$  :



Weiter:  $y_j \sim \ln \frac{p(y_j|u=0)}{p(y_j|u=1)} = \ln \frac{p(y_j|u=0)}{1-p(y_j|u=0)}$

- sub-optimaler **min-sum** Algorithmus

$$a \in \{0, 1\}^n \rightarrow a_M \in \{+1, -1\}^n \rightarrow b_M \in \mathbb{R}^n \rightarrow b \in \mathbb{R}^n$$

→ **Algorithmus** auf Basis von Zuverlässigkeiten [log domain]

$$L(y_1 \oplus y_2 \oplus \dots) \approx \prod_j \text{sign } y_j \cdot \min_j |y_j|$$

Aufbau von 2 Matrizen:  $Q_{k \times n}, R_{k \times n}$

$$\forall i, j \wedge h_{ij} = 1 :$$

|            | 1. Iteration   | > 1. Iteration  |
|------------|--|---|
| vertikal   | $L(q_{ij}) = y_j$  | $L(q_{ij}) = y_j + \sum_{i' \in N_j \setminus i} L_e(r_{i'j}) = L(\hat{u}_j) - L_e(r_{ij})$ |
| horizontal | $L_e(r_{ij}) = \prod_{j' \in K_i \setminus j} \text{sign } L(q_{ij'}) \cdot \min_{j' \in K_i \setminus j}  L(q_{ij'}) $  |   |
| Auswertung | $L(\hat{u}_j) = y_j + \sum_{i \in N_j} L_e(r_{ij})$ $\hat{u}_j = \begin{cases} 0 & L(\hat{u}_j) \geq 0 \\ 1 & \text{sonst} \end{cases} \quad (j = 1, 2, \dots, n)$ $s = H \cdot b_{\text{korrr},h}^T = H \cdot (\hat{u}_1, \hat{u}_2, \dots, \hat{u}_n)^T = \mathbf{0} ?$ <p>ja: stop bzw. <math>\tau_{\text{max}}</math> erreicht<br/>nein: weiter mit vertikalem Schritt</p> |   |

**Beispiel** (Fortsetzung von Beispiel S. 152),  $y_j \in \mathbb{R}$

$$b = (+0.4 \quad +0.4 \quad -2.2 \quad +1.4 \quad +0.8 \quad -7.0 \quad -0.4 \quad -7.0)$$

Auch möglich: Auslöschungskorrektur!

$$b_{\text{ausl}} = (-1 \quad +1 \quad \mathbf{0} \quad \mathbf{0} \quad -1 \quad -1 \quad \mathbf{0} \quad -1); y_j \in \left\{ \underbrace{+1, -1}_{u_j = \frac{1 - \text{sign } y_j}{2}}, \mathbf{0} \right\}$$

- quasi-optimale **min-sum** Algorithmen (s.a. S. 149)

$$a \in \{0, 1\}^n \rightarrow a_M \in \{+1, -1\}^n \rightarrow b_M \in \mathbb{R}^n \rightarrow b \in \mathbb{R}^n$$

Im Vergleich zum min-sum Algorithmus NUR Modifizierung des **horizontalen** Schritts!

**normalized:**  $\alpha = 1.25 \dots 2.00$  (abh. von  $H$ -Konstruktion und  $\gamma$ )

$$L_e(r_{ij}) = \frac{1}{\alpha} \prod_{j' \in K_i \setminus j} \text{sign } L(q_{ij'}) \cdot \min_{j' \in K_i \setminus j} |L(q_{ij'})|$$

**offset:**  $\beta = 0.15 \dots 0.20$

$$L_e(r_{ij}) = \prod_{j' \in K_i \setminus j} \text{sign } L(q_{ij'}) \cdot \max\left\{ \min_{j' \in K_i \setminus j} |L(q_{ij'})| - \beta, 0 \right\}$$

## Anwendungen

- DVB-S2,-T2,-C2 (Verkettung von BCH und LDPC, BCH entfernt möglichen error-floor), 0,7 ... 1,2 dB von Grenze, Koderate-Änderungen durch Punktierung von Paritätsstellen
  - DÜ-Standards WLAN ( $\leq 50 m$ ) und WiMAX ( $\leq 50 km$ )
  - Verteilte Speichersysteme wie Cloud Computing, Behandlung von Auslöschungsbereichen (hybrid: Iterative Dekodierung/Gauß-Jordan-Elimination)
  - IEEE 802.3an Standard für 10-Gigabit-Ethernet (Verkettung von CRC und (2048,1723)LDPC)
  - Optische Netzwerke mit bit-flipping Algorithmus
- SHANNON-Grenze nahezu erreicht ( $< 1 dB$ ), es geht „nur“ noch um praktikable Anwendungen

## 10 Schlussbetrachtungen

### Einordnung und Besonderheiten betrachteter Codes

- Ende der **40er Jahre** bahnbrechende Arbeiten von **SHANNON**, **HAMMING** und **GOLAY**
  - Annahmen Shannon's: Zufallskodes großer Länge, ML Dekodierung  
Problem: Dekodierungskomplexität wächst exponentiell mit  $n$
  - Shannon hat nur theoretische Abhandlungen geführt, Möglichkeiten der Umsetzung offen gelassen
- Traditionelle, klassische algebraische Codes der **50er, 60er Jahre**
  - Z. B. HAMMING, GOLAY, RM, BCH, RS, ... (hard-decision Dekodierungsalgorithmen)  
Faltungskodes (hard/soft-decision Dekodierungsalgorithmen)
  - Ein wesentlicher Vorteil von Faltungskodes gegenüber Blockkodes:  
Alle Synchronisationsprobleme sind mit VITERBI harmlos und mit geringem Mehraufwand zu beherrschen. UND: Die Dekodierung beginnt mit dem Einlesen der ersten Empfangssequenz. (Bei Blockkodes muss erst die Empfangsfolge komplett empfangen sein; Problem Strukturverzögerung.)
  - Komplexität der Dekodierung wächst mit  $n$  und  $d_{min}/d_f$
  - Weit entfernt von SHANNON-Grenze  $\rightarrow$  **Kodeverkettung**, Verbesserung, aber nicht erkennbaren Sprung Richtung Grenze, erreichbar?
  - Anwendungen im Bereich kleiner und mittlerer Kodewortlänge  
(Audio-CD:  $n = 256 \text{ Bit}$ , GSM:  $n = 456 \text{ Bit}$ , DVB:  $n = 1632 \text{ Bit}$ , NASA:  $n = 2040 \text{ Bit}$ , UMTS:  $n \approx 5000 \text{ Bit}$ )
  - Traditionelle, klassische Verkettungen wie RS-Faltung galten **bis Mitte der 90er Jahre** als perfekt passend für die Fehlerkorrektur:

| RS-Kode                               | Faltungskode                   |
|---------------------------------------|--------------------------------|
| hohe Koderate                         | kleine Koderate                |
| $R = 0.87$ (NASA)                     | $R = \frac{1}{2}, K = 7$       |
| $R = 0.87$ (Mars)                     | $R = \frac{1}{6}, K = 15$      |
| $p_R \approx 10^{-10} \dots 10^{-12}$ | für's „grobe“: $p_R < 10^{-5}$ |

Bei Fehlern über  $f_k$  hinaus produziert der Viterbi-Dekodierer Bündelfehler, während der BMD-Dekodierer von BCH-/RS-Kodes in den meisten Fällen Dekodierungsversagen aufzeigt (für  $k_1 \geq 4, f_k \geq 4$  bis zu 100%).

Faltungskodes sind Blockcodes überlegen, wenn ein Kanal mit schlechter bis mittelmäßiger Qualität um 2 oder 3 Zehnerpotenzen in der Fehlerrate verbessert werden soll. Wenn dagegen extrem kleine Fehlerraten angestrebt werden, sind BCH-/RS-Kodes vorzuziehen.

—→ Ausnutzen in der Kodeverkettung!

- Seit Mitte der **90er Jahre** Lücke zwischen Leistung praktikabler Codes und SHANNON-Grenze mit Anwendung **Iterativer Dekodierung** (GALLAGER **1962!**) schließbar;

Turbo Code (1993) hat Gebiet der Fehlerkorrekturcodes revolutioniert!

- Grundlage: Umsetzung von Shannon's Annahmen
- Turbokode: Verkettung algebraischer Codes, Zufallsinterleaving, große Kodewortlänge —→ Zufallskode
- LDPC-Kode: Sparsame „zyklenfreie“ Kontrollmatrix  
(Zufallsmatrix großer Länge – Annahme, dass diese frei von kurzen Zyklen –, quasi-zyklische Matrix, zyklische Matrix mit orthogonaler Eigenschaft, PEG (Progressive Edge-Growth) Matrix, ...)
- Iterative Dekodierung umgeht exponentielle Komplexität der ML Dekodierung!  
Ist (Näherungs-)Lösung für ML Umsetzung bei Blockcodes!
- (Noch ?) Problem: Komplexität von Kodierung und Dekodierung

| Komplexität | Turbokode       | LDPC-Kode                          |
|-------------|-----------------|------------------------------------|
| Kodierung   | linear          | quadratisch/linear (Basis: $G/H$ ) |
| Dekodierung | quadratisch     | linear                             |
| Koderate    | $< \frac{1}{2}$ | $\geq \frac{1}{2}$                 |

Turbokodes mit eher kurzem Interleaver sind eine Option für zuverlässige Übertragung, wie am Beispiel UMTS die Datenübertragung. Kurz bedeutet hier eine kurze Dekodierungsverzögerung.<sup>17</sup>

- Finden praktikabler Umsetzungen nahe SHANNON-Grenze; „alte“ Dekodierungsverfahren wegen geringer Komplexität wieder interessant: bit-flipping (1962), majority-logic (1954/1963)
  - u. a. soft reliability-based iterativer MLG Algorithmus (2009) ermöglicht parallele Dekodierung, erfordert nur logische Operationen und Integer-Additionen, konvergiert schnell (nur wenige Iterationen), nur 0,5 ... 1,0 dB von Leistung des sum-product Algorithmus; Anwendung?
- Große Kodewortlängen, z. B. DVB-S2:  $n = 64800 \text{ Bit}$  oder bei zeitkritischeren Anwendungen  $n = 16200 \text{ Bit}$ 
  - ABER auch WiMAX (IEEE 802.16e):  $n = 576 \dots 2304 \text{ Bit}$ , WLAN (IEEE 802.11n):  $n = 648, 1296, 1944 \text{ Bit}$
  - Grundlage bilden suboptimale quasi-zyklische  $H$ -Konstruktionen
- Rekonstruktion über  $f_k$  hinaus, keine Garantie von  $\leq f_k$  (error-floor bei  $p_R \approx 10^{-5} \dots 10^{-6}$ )
  - Verkettung mit klassischen Codes wie BCH, RS ( $p_R \leq 10^{-10}$ )
    - (DVB-S2: Verkettung von BCH und LDPC,
    - UMTS, LTE: Verkettung von RS und Turbokode,
    - ...)

LDPC-Kodes ersetzen weder Turbokodes noch traditionelle, klassische Block- und Faltungskodes<sup>18</sup> (letztere haben begrenzte Dekodierungskomplexität,  $p_R \ll$ , bei hohen Datenraten unschlagbar)!

<sup>17</sup>T. Hehn, J.B. Huber. *LDPC Codes and Convolutional Codes with Equal Structural Delay: A Comparison*. IEEE Trans. on Comm., Juni 2009

<sup>18</sup>K.S. Andrews, D. Divsalar, ... *The Development of Turbo and LDPC Codes for Deep-Space Applications*. Proc. of the IEEE, Vol. 95, No. 11, Nov. 2007.